

国立防災科学技術センター。正員 木下 繁夫，正員 御子 榮 正

1. はじめに

地表面における地震動の空間特性を知るためには、長観測における地震動特性に加えて、伝播速度特性やコヒーレンス特性等が新たに必要となり、てくる。今回は、地表面に設置した6台の速度計による小アレイ記録に基づく直達SH波の位相速度推定について報告する。

2. 推定方法

主たる推定方法として、周波数-波数スペクトルによる方法を用いた。二次元の波数ベクトルを k 、観測点 i の位置を Y_i (但し、基準観測点 $Y_0 = (0, 0)$) とする。観測点 i における記録 $v_i(t)$, $i = 1, 2, \dots, N$ から

$$C(t) = \frac{1}{L} \sum_{i=1}^L v_i(t) e^{-ikY_i} \quad , \quad i = 1, 2, \dots, N \quad (1)$$

なる複素時系列を作る。但し、 L は観測長数とする。このとき、 $C(t)$ に対して複素自己回帰モデル

$$C(t) = - \sum_{k=1}^p \alpha_k(k) C(t-k) + E_k(t) \quad (2)$$

を仮定すれば、波数ベクトル k 、周波数 $\omega = \omega \cdot \Delta T$ (ΔT : サンプリング時間) における周波数-波数スペクトルは、 $\sigma^2(k)$ と $E_k(t)$ の分散として、次式で推定される。

$$P(\omega, k) = \Delta T \cdot \sigma^2(k) / \left| 1 + \sum_{k=1}^p \alpha_k(k) e^{-ik\lambda} \right|^2 \quad , \quad |\lambda| \leq \pi \quad (3)$$

アレイ平面を通過する波動の伝播方向と位相速度は、(3)式を最大にするベクトル \hat{r} から求まる。位相速度 v_p は、 $v_p = \omega / |\hat{r}|$ で与えられる。

3. 推定結果

1983年2月27日および8月8日の記録のT-方向について推定した。観測点配置は、図1に示す通りである。位相速度の推定には、三通りの方法を用いた。例として、8月8日の記録から結果を図2に示す。図中の矢印は、図4に示す $P(\omega, k)$ から求めたもので、 $f = 0.25 \text{ Hz}$ で $v_p = 3.9 \text{ km/s}$ と求まっている。また、一長観測は、速度構造¹⁾を仮定し、その射角(±5°)から推定したものであり、 $v_p = 3.8 \text{ km/s}$ 程度である。長観測は、通常の三長観測とほぼ同じ方法であり、白丸と結ぶ直線が進行波面となる。 $v_p = 3.3 \text{ km/s}$ である。前二つの推定値がほぼ近い値を示している。図1および図3は、同様く2月27日の記録から得られた結果である。三長観測とほぼ同じ方法では、各観測点毎のみけり速度のばらつきが大きくなり、推定不可能である。

4. 平均値からの位相速度とコヒーレンスについて

前記の地震の震源は、観測点TAMAとFUCHJとを結ぶ線上に近い位置に決定されている。そこで、この二地点の平均値を求め、そのフーリエ振幅を、二長の速度波のフーリエ振幅の幾何平均で除し、単位を km/s として示したものが図5である。歪スペクトルの大きな周波数域では、ついで推定した v_p と比較的良い一致を示している。

図6は、相対距離 $L = 3 \text{ km}$ (6ヶ所の平均) と 6 km (5ヶ所の平均) に対するコヒーレンスの推定値である。伝播波面の進行波面が、図2に示すように決定している8月8日の記録では、コヒーレンスに大きな差がみられないものとなっている。但し、いずれの場合も、変位波に変換して推定したものである。

5. おわりに

震源距離等まで考慮に入れたコヒーレンス特性のモデル化が今後の課題である。

参考文献

1) 鶴川元雄他 (1984): 関東・東海地域地震観測網による震源決定方法について, 防災センター研究速報 No. 53

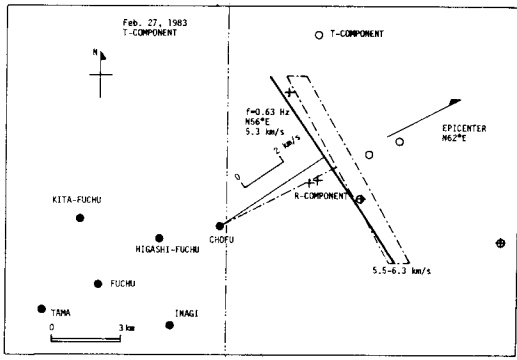


図1. 位相速度と伝播方向の推定結果 (T方向, 2月27日)

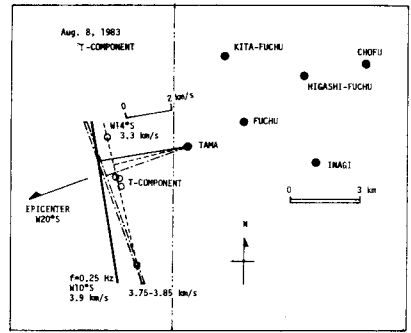


図2. 位相速度と伝播方向の推定結果 (T方向, 8月8日)

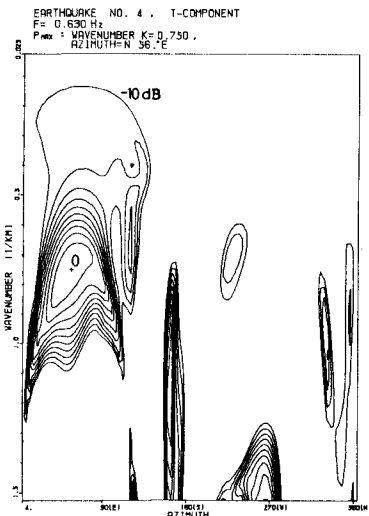


図3
周波数-波数比 (dB表示)
 $f=0.63\text{ Hz}$
推定震源方向:
 $NS6^\circ E$
推定位相速度:
 5.3 km/s

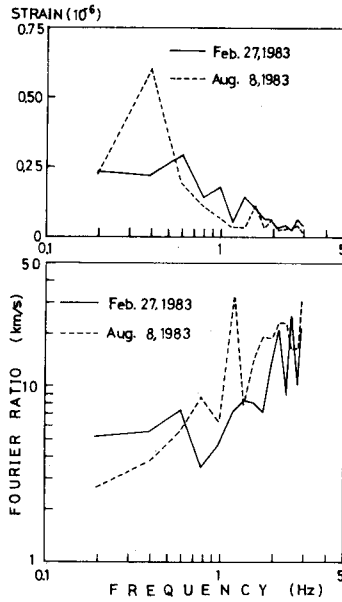


図5
TAMA-FUCHU 間の平均歪のフーリエ振幅スペクトル (T方向)

平均歪/速度のフーリエ振幅比 (単位は $\text{km/s} \times$ 換算)

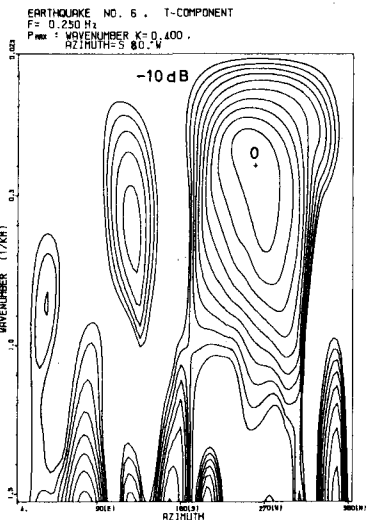


図4
周波数-波数比 (dB表示)
 $f=0.25\text{ Hz}$
推定震源方向:
 $SS80^\circ W$
推定位相速度:
 3.9 km/s

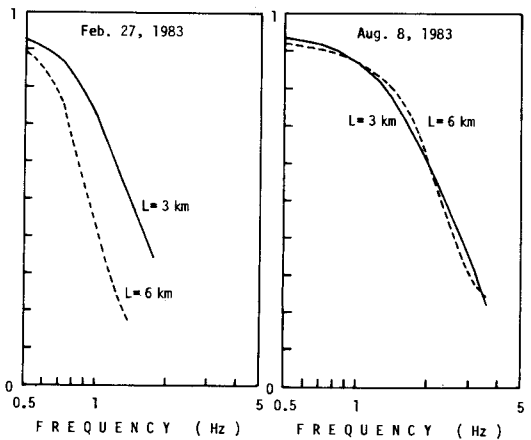


図6. 地域平均レムレム比の推定結果